

# Trabajo final - Métodos de Estimación 2023

Jesica Charaf e Ignacio Spiousas

2023-07-08

## Presentación

La distribución elegida para trabajar es la binomial negativa. Para el desarrollo utilizaremos la parametrización con  $r$  y  $\mu$  que se muestra a continuación:

Sea  $X \sim BN(r, \mu)$ , entonces, su función de probabilidad puntual puede expresarse como:

$$Px(x) = \frac{\Gamma(x+r)}{x!\Gamma(r)} \left(\frac{r}{r+\mu}\right)^r \left(\frac{\mu}{r+\mu}\right)^x,$$

con  $x = 1, 2, 3, \dots$

Además, se tiene que:  $\mathbb{E}(X) = \mu$  y  $V(X) = \mu + \frac{\mu^2}{r}$ .

## Estimadores de momentos para $r$ y $\mu$

### Obtención de los estimadores

Consideremos al conjunto de parámetros  $\theta = (r, \mu)$  y que  $X_1, \dots, X_n \stackrel{iid}{\sim} BN(r, \mu)$ . Como tenemos dos parámetros, para obtener los estimadores de momentos tendremos que utilizar el primer y segundo momento.

#### Primer momento

De plantear el primer momentos obtenemos:

$$\begin{aligned}\bar{X} &= \mathbb{E}_{\hat{\theta}}(X) \\ \bar{X} &= \hat{\mu}.\end{aligned}$$

#### Segundo momento

Para el segundo momento tenemos que plantear:

$$\frac{1}{n} \sum_{i=1}^n X_i^2 = \mathbb{E}_{\hat{\theta}}(X^2),$$

Y para esto vamos a recordar que  $V(X) = \mathbb{E}_{\hat{\theta}}(X^2) - (\mathbb{E}_{\hat{\theta}}(X))^2$ , por lo tanto:

$$\begin{aligned}\frac{1}{n} \sum_{i=1}^n X_i^2 &= \mathbb{E}_{\hat{\theta}}(X^2) \\ \frac{1}{n} \sum_{i=1}^n X_i^2 &= V(X) + (\mathbb{E}_{\hat{\theta}}(X))^2 \\ \frac{1}{n} \sum_{i=1}^n X_i^2 &= \hat{\mu} + \frac{\hat{\mu}^2}{\hat{r}} + \hat{\mu}^2.\end{aligned}$$

### Resumiendo

Entonces, el sistema de ecuaciones que tenemos que resolver para hallar  $\hat{r}$  y  $\hat{\mu}$  es:

$$\begin{aligned}\bar{X} &= \hat{\mu} \\ \frac{1}{n} \sum_{i=1}^n X_i^2 &= \hat{\mu} + \frac{\hat{\mu}^2}{\hat{r}} + \hat{\mu}^2.\end{aligned}$$

### El despeje

En el caso del estimador de  $\hat{\mu}$ , no hace falta despejar nada ya que queda directamente definido por el primer momento. Por otro lado, a  $\hat{r}$  lo podemos despejar fácilmente del segundo momento reemplazando  $\mu$  por  $\bar{X}$ :

$$\begin{aligned}\frac{1}{n} \sum_{i=1}^n X_i^2 - \hat{\mu} - \hat{\mu}^2 &= \frac{\hat{\mu}^2}{\hat{r}} \\ \frac{1}{n} \sum_{i=1}^n X_i^2 - \bar{X} - \bar{X}^2 &= \frac{\bar{X}^2}{\hat{r}} \\ \hat{r} &= \frac{\bar{X}^2}{\frac{1}{n} \sum_{i=1}^n X_i^2 - \bar{X} - \bar{X}^2}\end{aligned}$$

Entonces los estimadores de momentos son:

$$\begin{aligned}\hat{\mu}_{mo} &= \bar{X} \\ \hat{r}_{mo} &= \frac{\bar{X}^2}{\frac{1}{n} \sum_{i=1}^n X_i^2 - \bar{X} - \bar{X}^2}\end{aligned}$$

### Consistencia

De nuevo, probar la consistencia del estimador de  $\mu_{mo}$  es directo, ya que por LGN  $\bar{X} \xrightarrow{c.s.} \mu$ , entonces,  $\hat{\mu}_{mo}$  es un estimador consistente para  $\mu$ .

Para estudiar la consistencia de  $\hat{r}_{mo}$  también vamos a utilizar LGN, pero vamos a tener que utilizar algunas propiedades. Por LGN sabemos que:

$$\sum_{i=1}^n X_i^2 \xrightarrow{c.s.} \mathbb{E}_{\hat{\theta}}(X^2) = \mu + \frac{\mu^2}{r} + \mu^2.$$

Además, como  $\bar{X} \xrightarrow{c.s.} \mu$  y  $g(t) = t^2$  es una función continua, podemos afirmar que  $\bar{X}^2 \xrightarrow{c.s.} \mu^2$ . Luego

$$\frac{\overline{X}^2}{\frac{1}{n} \sum_{i=1}^n X_i^2 - \overline{X} - \overline{X}^2} \xrightarrow{c.s.} \frac{\mu^2}{\mu + \frac{\mu^2}{r} + \mu^2 - \mu - \mu^2}$$

$$\frac{\overline{X}^2}{\frac{1}{n} \sum_{i=1}^n X_i^2 - \overline{X} - \overline{X}^2} \xrightarrow{c.s.} \frac{\mu^2}{\frac{\mu^2}{r}} = r.$$

Por lo tanto,  $\hat{r}_{mo}$  es un estimador consistente para  $r$ .

## Distribución asintótica

Para la distribución asintótica vamos a generar simulaciones de datos con distribución binomial negativa y parámetros poblacionales  $r = 1$  y  $\mu = 5$  y para cuatro tamaños de muestra, con  $n = 10, 50, 100, 500$ . Con cada simulación vamos a estimar los parámetros utilizando los estimadores de momentos ( $\hat{\theta}$ ) y, a partir de ellos vamos a calcular los estimadores estandarizados de acuerdo a:

$$\frac{\hat{\theta} - \theta}{se(\hat{\theta})}.$$

Una vez obtenidos los valores estandarizados para  $\hat{r}$  y  $\hat{\mu}$  graficaremos los histogramas de ambas distribuciones comparados con la densidad de una distribución  $\mathcal{N}(0, 1)$ .

Primero defino las funciones que me generarán mis estimaciones de momentos

```
mu_mo <- function(x) {
  mean(x)
}

r_mo <- function(x) {
  (mean(x))^2/(mean(x^2) - mean(x) - mean(x)^2)
}
```

Luego, voy a realizar `Nrep` simulaciones del vector aleatorio  $X$  con  $\{X_i, \dots, X_n\} \sim BN(\mu = 5, r = 1)$ :

```
ns <- c(1e1, 5e1, 1e2, 5e2)
Nrep <- 1e4
mu_pob <- 5
r_pob <- 1

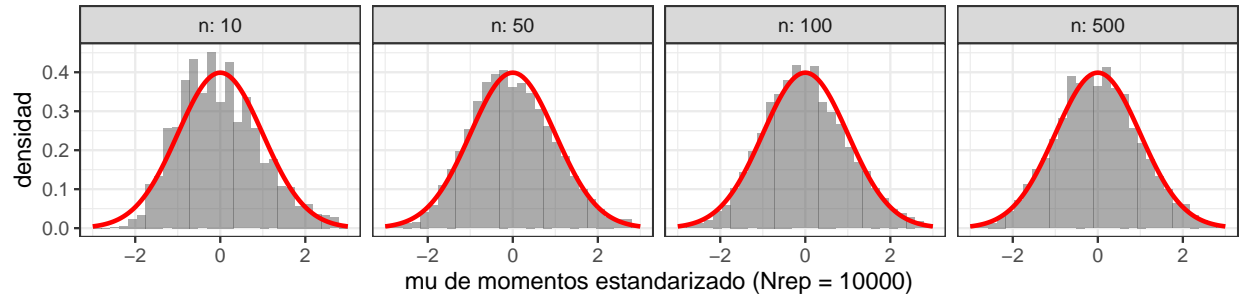
est_rs <- vector(length = length(ns)*Nrep)
est_mus <- vector(length = length(ns)*Nrep)
est_ns <- vector(length = length(ns)*Nrep)

set.seed(12)
for (i in 1:length(ns)) {
  for (j in 1:Nrep) {
    data <- rnbino(n = ns[i], size = r_pob, mu = mu_pob)
    est_ns[(i-1)*Nrep + j] <- ns[i]
    est_mus[(i-1)*Nrep + j] <- mu_mo(data)
    est_rs[(i-1)*Nrep + j] <- r_mo(data)
  }
}
```

Luego estandarizamos los estimadores obtenidos con las muestra simuladas:

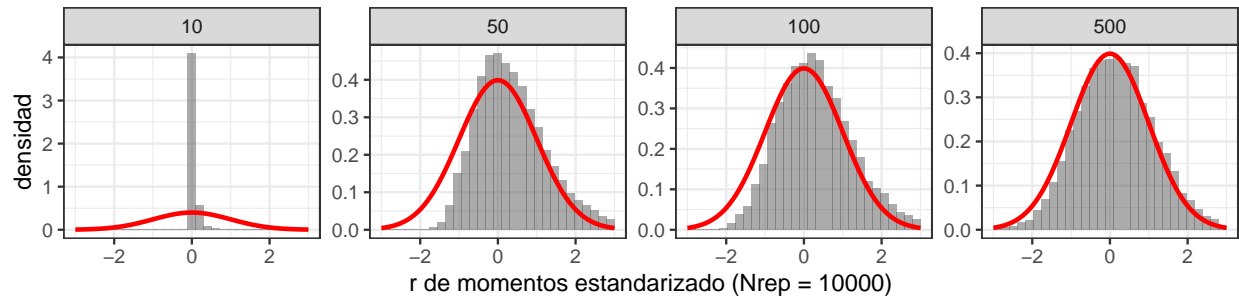
```
sim_mo <- tibble(n = est_ns,
                 mu = est_mus,
                 r = est_rs) %>%
  filter(r!=Inf) %>%
  group_by(n) %>%
  mutate(mu_est = (mu - mu_pob)/sd(mu),
         r_est = (r - r_pob)/sd(r))
```

Y, finalmente, vemos los histogramas de estos estimadores estandarizados comparados con una distribución  $\mathcal{N}(0, 1)$ . Primero  $\hat{\mu}_{mo,est}$ :



En los histogramas puede verse que, aún para valores chicos de  $n$ , la distribución del estimador estandarizado  $\hat{\mu}_{mo,est}$  es muy similar a la línea roja, es decir, su distribución asintótica es una  $\mathcal{N}(0, 1)$ . Por otro lado, algo que podemos observar es que el estimador no pareciera tener un sesgo para ningún valor de  $n$ .

Y para  $\hat{r}_{mo,est}$ :



Y en este caso, y al contrario que para  $\hat{\mu}_{mo,est}$ , vemos que sólo para valores de  $n$  grandes la distribución de  $\hat{r}_{mo,est}$  se aproxima a la  $\mathcal{N}(0, 1)$ , mientras que para valores chicos de  $n$  muestra una distribución más concentrada y sesgada hacia la derecha.

Una cosa extra que podemos hacer, ya que tenemos simulaciones, es verificar la consistencia calculando el error cuadrático medio empírico (ECME):

```
sim_mo %>%
  group_by(n) %>%
  summarise(ECME_r = mean(r - r_pob)^2,
            ECME_mu = mean(mu - mu_pob)^2) %>%
  knitr::kable()
```

n	ECME_r	ECME_mu
10	0.2095478	7.51e-05
50	0.0244619	1.90e-06
100	0.0069814	1.77e-05

n	ECME_r	ECME_mu
500	0.0002816	1.90e-06

Puede verse que ambos estimadores son consistentes aunque, como se ve en los histogramas,  $\hat{\mu}_{mo}$  parece ser un estimador insesgado mientras que  $\hat{r}_{mo}$  parece ser un estimador asintóticamente insesgado, pero con un sesgo a derecha para valores chicos de  $n$ .

## Estimadores de máxima verosimilitud para $r$ y $\mu$

Para hallar los estimadores de máxima verosimilitud utilizaremos el comando `fitdistr` del paquete `{MASS}`. Al igual que hicimos con los estimadores de momentos, vamos

### Obtención de los estimadores

A modo de ejemplo obtendremos los parámetros  $\hat{r}_{mv}$  y  $\hat{\mu}_{mv}$  a partir de una muestra aleatoria de variables iid distribuidas como binomial negativa con parámetros  $r = 1$  y  $\mu = 10$ .

```
mu_mo <- function(x) {
  fitdistr(x, densfun = "negative binomial")[2]
}

r_mo <- function(x) {
  fitdistr(x, densfun = "negative binomial")[1]
}
```

Puedo verificar que las estimaciones me den bien:

### Consistencia

Para la consistencia vamos a repetir el procedimiento utilizado para la distribución asintótica de los estimadores de momentos pero calcularemos el ECME. Primero hagamos la simulación:

```
ns <- c(1e1, 5e1, 1e2, 5e2)
Nrep <- 1e4
mu_pob <- 5
r_pob <- 1

est_rs <- vector(length = length(ns)*Nrep)
est_mus <- vector(length = length(ns)*Nrep)
est_ns <- vector(length = length(ns)*Nrep)

set.seed(12)
for (i in 1:length(ns)) {
  cat(paste("n =", ns[i], "\n"))
  for (j in 1:Nrep) {
    data <- rnbino(n = ns[i], size = r_pob, mu = mu_pob)
    est_mv <- fitdistr(data, densfun = "negative binomial")
    est_ns[(i-1)*Nrep + j] <- ns[i]
    est_mus[(i-1)*Nrep + j] <- est_mv$estimate[2]
    est_rs[(i-1)*Nrep + j] <- est_mv$estimate[1]
  }
}
```

```
## n = 10
```

```
## n = 50
## n = 100
## n = 500
```

Luego, estandarizamos los estimadores obtenidos con las muestra simuladas:

```
sim_mv <- tibble(n = est_ns,
                 mu = est_mus,
                 r = est_rs) %>%
  filter(r!=Inf) %>%
  group_by(n) %>%
  mutate(mu_est = (mu - mu_pob)/sd(mu),
         r_est = (r - r_pob)/sd(r))
```

Y, por último, calculamos el ECME:

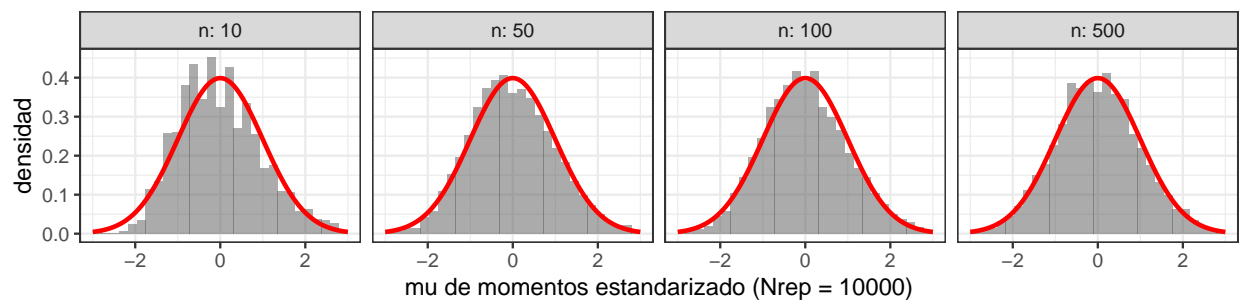
```
sim_mv %>%
  group_by(n) %>%
  summarise(ECME_r = mean(r - r_pob)^2,
            ECME_mu = mean(mu - mu_pob)^2) %>%
  knitr::kable()
```

n	ECME_r	ECME_mu
10	4.4644000	5.56e-05
50	0.0067779	1.90e-06
100	0.0018059	1.77e-05
500	0.0000514	1.80e-06

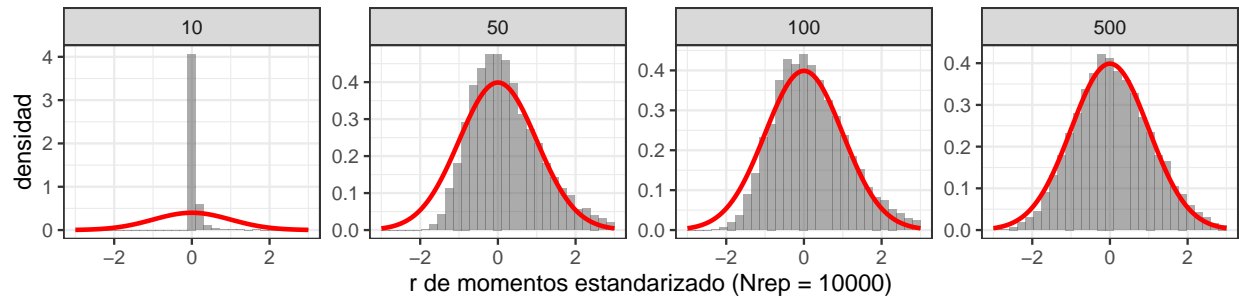
De la misma forma que en los estimadores de momentos, pareciera que, si bien ambos son consistentes,  $\mu_{mv}$  es insesgado mientras que  $r_{mv}$  es asintóticamente insesgado.

## Distribución asintótica

Después de estandarizar podemos ver los histogramas para  $\hat{\mu}_{mv,est}$ :



, y para  $\hat{r}_{mv,est}$ :



En los que, al igual que para los estimadores de momentos se ve que la distribución asintótica para ambos parámetros es una  $\mathcal{N}(0, 1)$ , pero con diferencias para valores de  $n$  pequeños.

## Aplicaciones y datos